



CALIDAD DELARE

Área metropolitana de Lima y Callao





VIGILANCIA DE LA CALIDAD DEL AIRE EN EL ÁREA METROPOLITANA DE LIMA Y CALLAO (AMLC) – MAYO 2025

PRESENTACIÓN

El Servicio Nacional de Meteorología e Hidrología (SENAMHI) presenta el boletín mensual sobre la vigilancia de la calidad del aire en el Área Metropolitana de Lima y Callao (AMLC), donde los tomadores de decisión y público en general podrán encontrar información sobre los principales contaminantes atmosféricos a los que se encuentran expuestos.

Para un mejor entendimiento de las variaciones espaciales y temporales de los contaminantes atmosféricos, se ha utilizado información meteorológica de superficie (datos de las estaciones meteorológicas automáticas del SENAMHI). Asimismo, se realizó un análisis sinóptico y oceánico a partir de la documentación técnica del SENAMHI para el mes de mayo^{1,2} y las salidas resultantes de la aplicación del modelo Weather Research and Forecasting (WRF)³ para el ámbito del AMLC, el cual tiene una resolución espacial de 1 km y temporal de 1 hora. Por otro lado, se realizó un análisis del comportamiento del tránsito vehicular en el AMLC a partir de la información extraída de Google Traffic⁴. Con respecto a la información de contaminantes atmosféricos, se usaron los datos de la Red de Monitoreo Automático de la Calidad del Aire (REMCA) de SENAMHI e información del satélite Sentinel 5P⁵.

Toda persona tiene derecho de gozar de un ambiente equilibrado y adecuado al desarrollo de su vida.

Constitución Política del Perú. Artículo 2, inciso 22.

⁵ Satélite de la misión Copernicus de la Agencia Espacial Europea que realiza mediciones atmosféricas con alta resolución espacio-temporal (The European Space Agency, s.f.).



¹ Informe de Vigilancia Sinóptica de Sudamérica – mayo 2024. Obtenido de: https://www.senamhi.gob.pe/load/file/02214SENA-123.pdf

² Boletín climatológico de Lima – mayo 2024. Obtenido de: https://www.senamhi.gob.pe/load/file/02232SENA-131.pdf

³ Sistema de predicción meteorológica a mesoescala de última generación diseñado tanto para la investigación atmosférica como para aplicaciones de predicción operativa (Mesoscale & Microscale Meteorology Laboratory - NCAR, s.f.).

⁴ Visor web de la empresa Google que muestran en tiempo real y a nivel histórico el estado del tránsito vehicular en las calles del AMLC.

1. ANÁLISIS SINÓPTICO Y OCEÁNICO

Para un mejor entendimiento de las condiciones sinópticas a niveles bajos y oceánicos en el AMLC, se realizó un análisis por decadiarias (cada diez días), obteniéndose tres periodos de análisis. Es así como, para el mes de mayo se conformó la decadiaria 1 (del 1 al 10), decadiaria 2 (del 11 al 20) y decadiaria 3 (del 21 al 31).

1.1. PRIMERA DECADIARIA (1 al 10 de mayo)

En superficie, el APS presentó una configuración zonal con núcleo en los 35°S y 115°W, con valores de presión por encima de los 1024 hPa, más intenso respecto a lo climático y desplazado hacia el suroeste ^{6,1} (Figura N°01a). A nivel de superficie, los vientos incidentes sobre la costa del AMLC presentaron una dirección predominante del sur con velocidades entre 0 y 5 m/s. Por otro lado, las Anomalías de la Temperatura Superficial del Mar (ATSM) frente a las costas del AMLC estuvieron cercanas a los -0.1°C, lo cual repercutió en las anomalías de temperaturas máximas y mínimas del aire, encontrándose la máxima en 0.8°C por encima de lo normal, mientras que la mínima, -0.8°C².

Figura N°01a. Variación del APS en la decadiaria 1.

10*N

0*

10°S

20°S

30°S

60°S

120°W

110°W

110°W

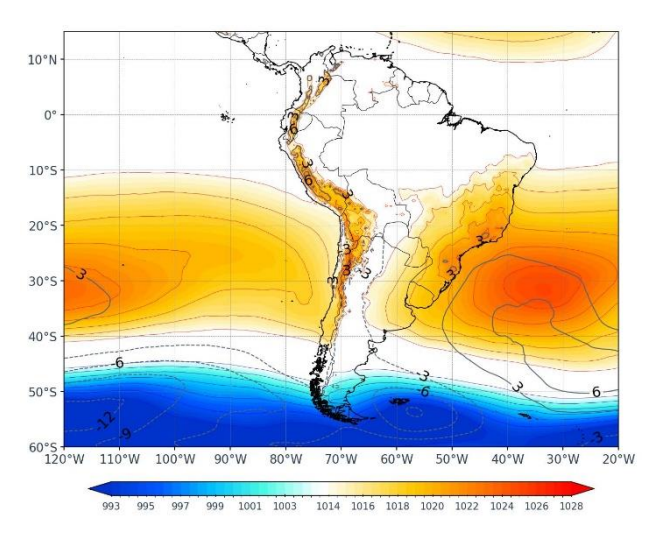
100°W

1.2. SEGUNDA DECADIARIA (11 al 20 de mayo)

En superficie, el APS presentó una configuración zonal con un núcleo en los 32°S y 118°W, con valores de presión cercanos a los 1022 hPa, ligeramente más intenso respecto al climático y desplazado hacia el suroeste. ^{6,1} (Figura N° 01b). A nivel de superficie, los vientos incidentes sobre la costa del AMLC presentaron una dirección predominante del sur y velocidades entre 3 y 6 m/s. Por otro lado, las ATSM⁷ frente a las costas del AMLC se encontraron alrededor de los –0.5°C, con una ligera tendencia a aumentar, lo cual repercutió en las anomalías de temperaturas máximas y mínimas del aire, ubicándolas en -0.2°C y -0.9°C, respectivamente².

Figura N°01b. Variación del APS en la decadiaria 2.

999 1001 1003 1014 1016 1018 1020 1022 1024 1026 1028





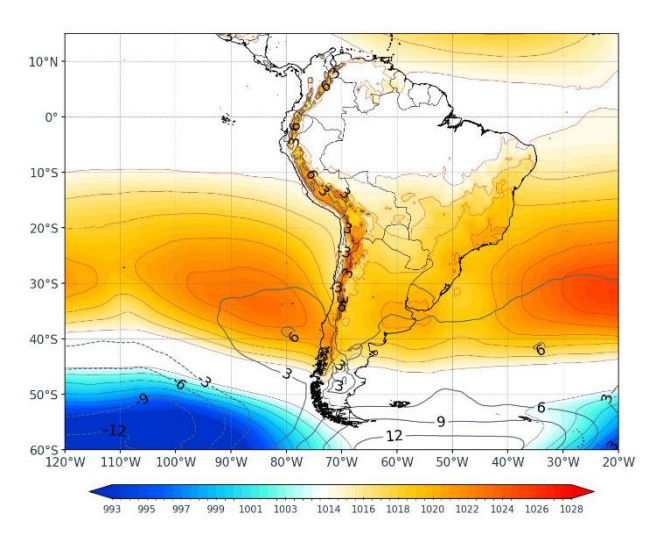
[¿]Cómo responderán los anticiclones subtropicales del hemisferio sur al calentamiento global? Mecanismos y estacionalidad en las proyecciones de los modelos CMIP5 y CMIP6 (Pág. 704). Obtenido de: https://link.springer.com/article/10.1007/s00382-020-05290-7



1.3. TERCERA DECADIARIA (21 al 31 de mayo)

En superficie, el APS presentó una configuración mayormente zonal y con núcleo en los 34°S y 85°W con valores por encima de los 1022 hPa, más intenso respecto al climático y desplazado hacia el sureste. ^{6,1} (Figura N° 01c). Asimismo, se presentaron vientos con una dirección predominante del sur, con velocidades entre 0 y 6 m/s. Por otro lado, las ATSM frente a las costas del AMLC estuvieron cerca de -0.1°C, con una ligera tendencia a incrementarse, lo que favoreció la disminución de anomalías de temperaturas máximas del aire a -1.2°C y un aumento en las mínimas de -1.0°C2.

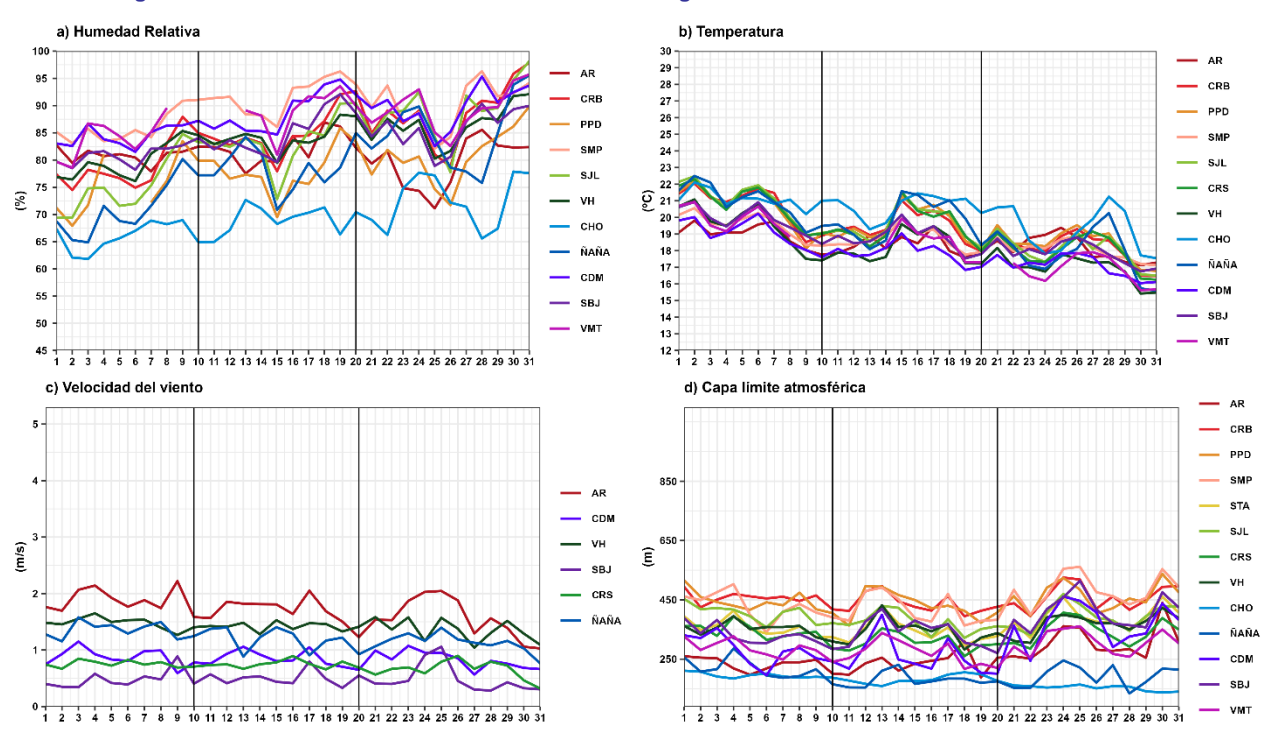
Figura N°01c. Variación del APS en la decadiaria 3.



2. CONDICIONES METEOROLÓGICAS LOCALES EN EL AMLC

Con los datos de las Estaciones Meteorológicas Automáticas (EMA) ubicadas en el AMLC, se realizó un análisis de la variabilidad diaria de la humedad relativa, la temperatura a 2 metros de la superficie y la velocidad del viento a 10 metros de la superficie. Los datos provinieron de las estaciones: Antonio Raimondi (AR), Carabayllo (CRB), Puente Piedra (PPD), San Martín de Porres (SMP), Santa Anita (STA), San Juan de Lurigancho (SJL), Ceres (CRS), Alexander Von Humboldt (VH), Ñaña (ÑaÑa), Chosica (CHO), Villa María del Triunfo (VMT) y Campo de Marte (CDM). Adicionalmente, se representó la variabilidad diaria de la Capa Límite Atmosférica (CLA)⁸ para lo cual se usó las salidas del modelo operativo WRF con resolución espacial de 1 km y temporal de 1 h.

Figura N°02. Variación diaria de las variables meteorológicas en el ALMC dividido en 3 decadiarias



⁸ CLA: parte de la tropósfera influenciada directamente por la superficie terrestre, donde se concentra la mayor cantidad de sustancias contaminantes.



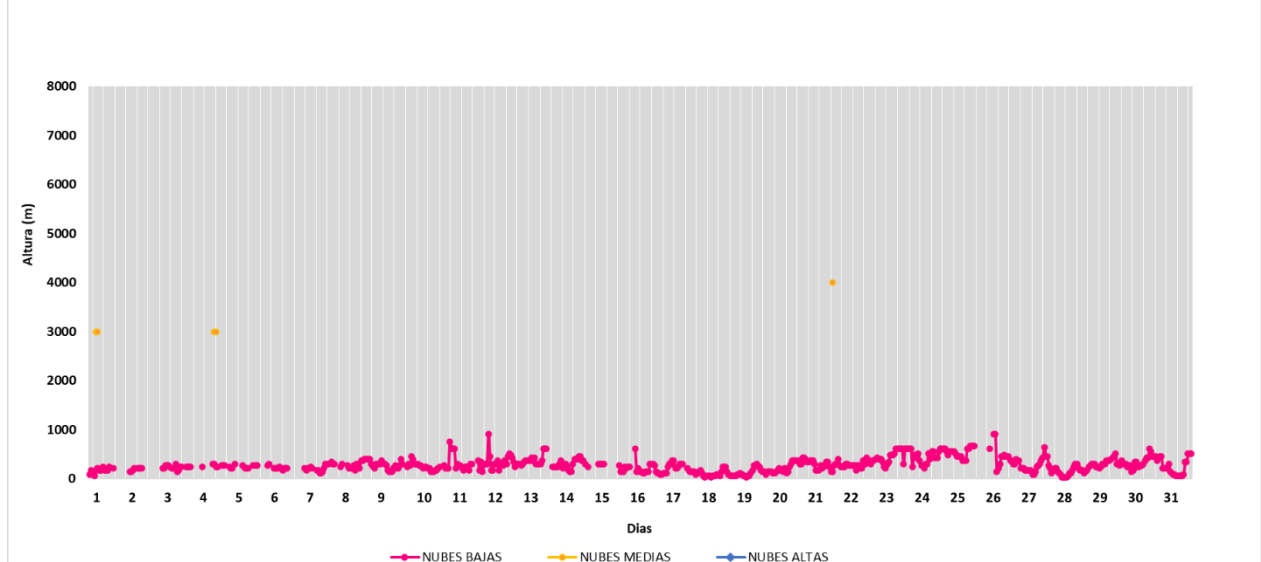
Con respecto a la humedad relativa (Figura N° 02a), durante la primera decadiaria se presentaron valores entre 61.8% a 91.1%, para la segunda decadiaria entre 65% a 96.3% y para la tercera decadiaria entre 65.6% a 98.1%, siendo las estaciones SMP y CDM aquellas que mantuvieron los promedios de humedad más altos, de 83.6% y 83.1%, respectivamente. En relación con la temperatura (Figura Nº 02b) durante la primera decadiaria se presentaron valores entre 17.4°C a 22.5°C, para la segunda decadiaria entre 16.8°C a 21.6°C, y en la tercera decadiaria entre 15.4°C a 21.3°C, siendo la estación de CHO la que alcanzó el valor promedio más alto de temperatura de 20.3°C. En cuanto a la velocidad del viento (Figura Nº 02c), los valores oscilaron entre 0.3 a 2.2 m/s durante todo el mes, siendo la estación AR la que alcanzó el valor promedio más alto, con una media mensual de 1.7 m/s. En el caso de la altura de la CLA (Figura Nº 02d), las estaciones CRB, PPD y SMP alcanzaron los valores promedio más altos, con una altura promedio de 451.3, 446.5, 444.4 m, respectivamente, mientras que en las estaciones ÑAÑA y CHO se presentaron los valores promedio más bajos, con 196.3 y 175.5 m, respectivamente.

2.1. ALTURA DE LA BASE DE LA NUBE

De acuerdo con el registro horario de la Altura de la Base de la Nube (ABN) obtenido por el ceilómetro de la EMA Aeropuerto Internacional Jorge Chávez ubicada en el Callao (Figura N° 03), durante el mes de mayo se observó que las nubes bajas (ABN menor a 2000 m) se presentaron en el 83% de las horas. Las nubes medias (ABN entre 2000 m y 6000 m), se registraron en el 0.7% de los casos. En cuanto al cielo despejado, este se presentó en el 17% de las mediciones realizadas. En general, durante el mes de mayo disminuyeron las condiciones de cielo despejado, situación característica de mediados de otoño.



Figura N°03. Altura de la base de la nube registrada en la estación Aeropuerto Internacional Jorge Chávez (JCH).

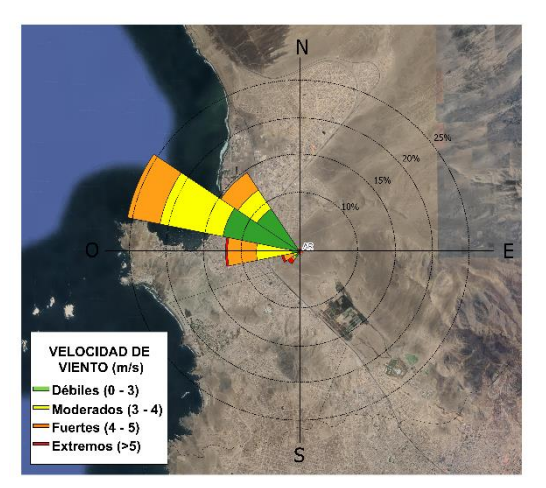






2.2. ANALISIS DEL VIENTO EN SUPERFICIE POR HORARIOS

Figura N°04. Rosa de vientos.



La rosa de vientos está definida como un gráfico circular que tiene marcado alrededor los rumbos de los vientos con las direcciones cardinales. Respecto a los vientos, se grafican las direcciones de donde provienen, así como también la frecuencia y magnitud de la velocidad⁹.

A manera de ejemplo se muestra en la Figura N° 04 una rosa de vientos para la estación Antonio Raimondi, la cual presenta una dirección predominante (con una frecuencia de vientos del 25%) del noroeste (NO) y una intensidad de extrema (>5m/s).

En la Figura N° 05 se muestra el comportamiento de la dirección y velocidad del viento en cada una de las EMA

para los horarios diurnos (07:00 - 12:59 horas), vespertinos (13:00 - 18:59 horas) y nocturnos (19:00 - 06:59 horas) con sus respectivas categorías de la intensidad del viento; débiles (0 - 3 m/s), moderados (3 - 4 m/s), fuertes (4 - 5 m/s) y extremos (>5m/s). Cabe resaltar que las rosas de viento de las estaciones CHO, CRB, PPD, SMP, SJL, VH y VMT, fueron construidas a partir de datos extraídos del modelo WRF, el cual tiene una resolución espacial de 1 km y temporal de 1 hora.

Durante el horario diurno (Figura N° 05a), en las estaciones VH, PPD y SBJ se alcanzaron vientos fuertes, moderados y débiles, respectivamente, con una dirección predominante del oeste (O). Las estaciones CHO y ÑAÑA registraron vientos de intensidad extrema, mientras que la estación CRB vientos fuertes, siendo la dirección predominante del suroeste (SO) para las tres estaciones. En las estaciones SMP y SJL se alcanzaron vientos moderados, mientras que en la estación CRS, vientos débiles, siendo la dirección predominante del sur suroeste (SSO) para las tres estaciones. En las estaciones STA y CDM se alcanzaron vientos moderados y débiles, respectivamente, con dirección predominante del suroeste (SO). En las estaciones AR y VMT se alcanzaron vientos fuertes y moderados, con direcciones predominantes del oeste noroeste (ONO) y oeste suroeste (OSO), respectivamente.

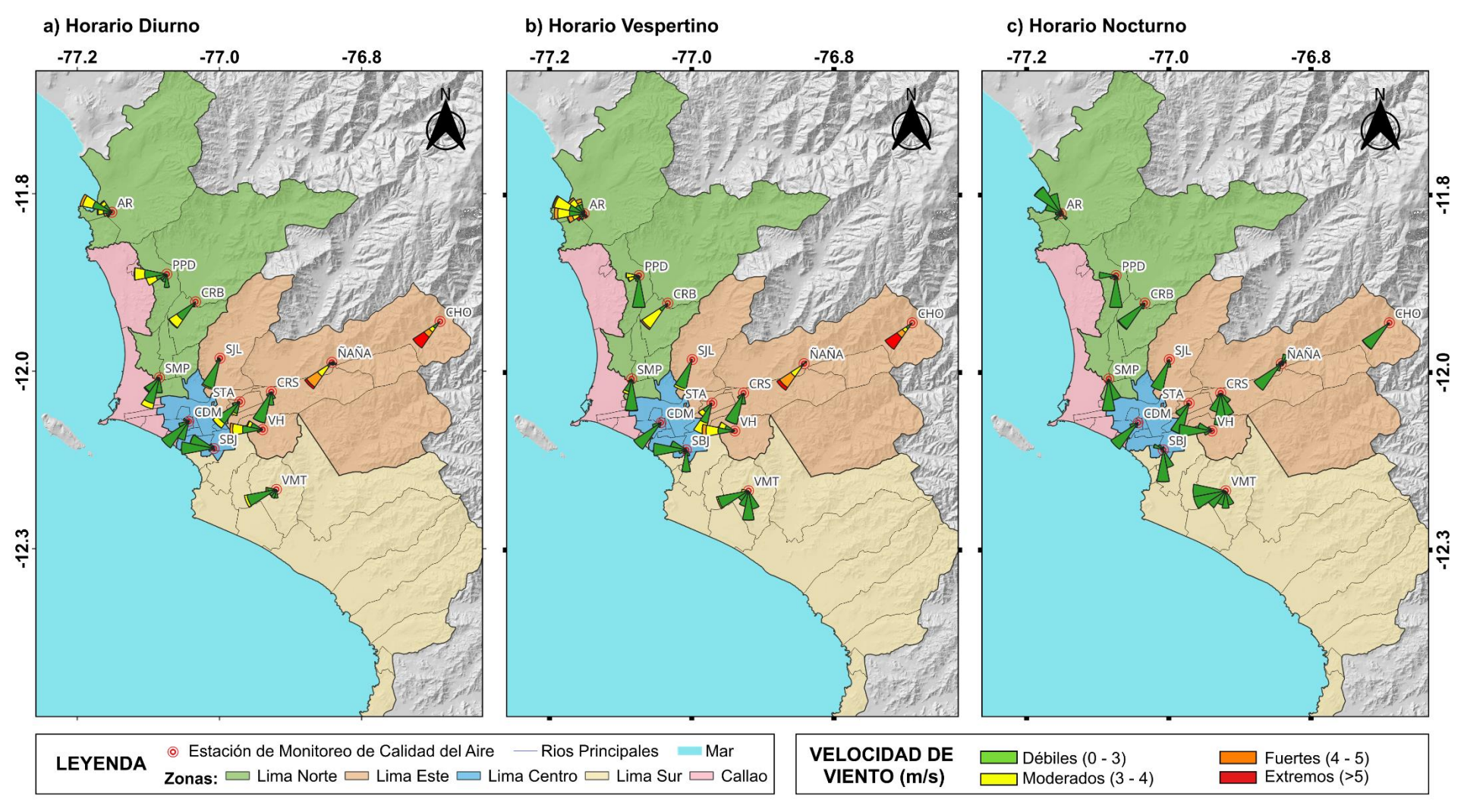
Durante el horario vespertino (Figura N°05b), en las estaciones CHO y ÑAÑA se observaron vientos de intensidad extrema, mientras que en las estaciones CRB y CDM, vientos fuertes y débiles, respectivamente, siendo la dirección predominante del suroeste (SO) para las cuatro estaciones. Las estaciones SJL y STA presentaron vientos de intensidad moderada, mientras que en CRS se observaron vientos débiles, siendo la dirección predominante del sur suroeste (SSO) para las tres estaciones. En las estaciones SMP y PPD se presentaron vientos moderados y débiles, respectivamente, con dirección predominante del sur (S). En las estaciones VH y SBJ se presentaron vientos fuertes y débiles, respectivamente, con dirección predominante del oeste (O). Finalmente, en el caso de las estaciones AR y VMT se alcanzaron vientos fuertes y moderados, respectivamente, con dirección predominante del oeste noroeste (ONO) y oeste suroeste (OSO).

Durante el horario nocturno (Figura N°05c), en las estaciones CHO y CRB se alcanzaron vientos moderados, mientras que en las estaciones ÑAÑA y CDM, vientos débiles, siendo la dirección predominante del suroeste (SO) para las cuatro estaciones. En las estaciones de SJL y STA se dieron vientos débiles, con una dirección predominante del sur suroeste (SSO). En las estaciones CRS, SMP, PPD y SBJ, se alcanzaron vientos débiles, con dirección predominante del sur (S). La estación AR alcanzó vientos débiles, con dirección predominante del noroeste (NO). En las estaciones de VH y VMT se alcanzaron vientos débiles, con una dirección predominante del oeste (O).

⁹ Como leer una rosa de vientos. Obtenido de: https://www.epa.gov/sites/default/files/2019-01/documents/how_to_read_a_wind_rose.pdf



Figura N°05. Rosas de viento para diferentes horarios en el AMLC.



La Figura N° 05 muestra el comportamiento de la dirección y velocidad del viento en cada una de las EMA para los horarios diurnos (07:00 - 12:59 horas), vespertinos (13:00 -18:59 horas) y nocturnos (19:00 - 06:59 horas).



3. ACTIVIDAD VEHICULAR EN EL AMLC

La actividad vehicular tiene una contribución de más del 50% sobre la contaminación del aire en el AMLC10, asimismo, según el ranking del año 2024 de la compañía TOMTOM, en el AMLC el tiempo empleado para recorrer un tramo de 10 km es de 28 minutos¹¹. Se ha demostrado a través de investigaciones que, al aumentar el tiempo empleado para recorrer un tramo (mayor congestión vehicular), se espera un incremento en las concentraciones de los contaminantes atmosféricos 12,13. En relación con lo indicado, se ha desarrollado un algoritmo en Python que utiliza la técnica de web scraping14 para extraer datos sobre el tiempo de recorrido en tramos de 2 km de las principales avenidas¹⁵, específicamente en el área de influencia de las estaciones de monitoreo de calidad del aire de la REMCA del SENAMHI.

En la Figura N°06 se aprecia que los mayores tiempos de recorrido en tramos de 2 km se registraron en los alrededores de la estación CDM (zona centro), alcanzando un valor promedio diario máximo de 11.3 minutos durante la primera decadiaria (miércoles 7 de mayo), con el pico más alto alrededor de las 8:00 y 20:00 horas. En la zona norte, el mayor tiempo de recorrido fue de 6.5 minutos, registrado durante la tercera decadiaria (viernes 30 de mayo) en los alrededores de la estación SMP. En la zona este, el valor más alto fue de 4.8 minutos, alcanzado durante la primera decadiaria (miércoles 7 de mayo) en los alrededores de la estación SJL. Finalmente, en la zona sur, en los alrededores de la estación VMT, el valor más alto fue de 2.5 minutos, alcanzado también en la primera decadiaria (martes 6 de mayo). En la mayoría de las locaciones, los tiempos de recorrido se mantuvieron relativamente estables a lo largo del mes, con reducciones en los tiempos de demora durante los domingos, lo que refleja una menor carga vehicular durante los días de descanso. Por otro lado, la Figura Nº 07 muestra que en su mayoría se presentaron dos picos en los tiempos de demora: entre las 7:00 a 9:00 horas y entre las 18:00 a 20:00 horas.

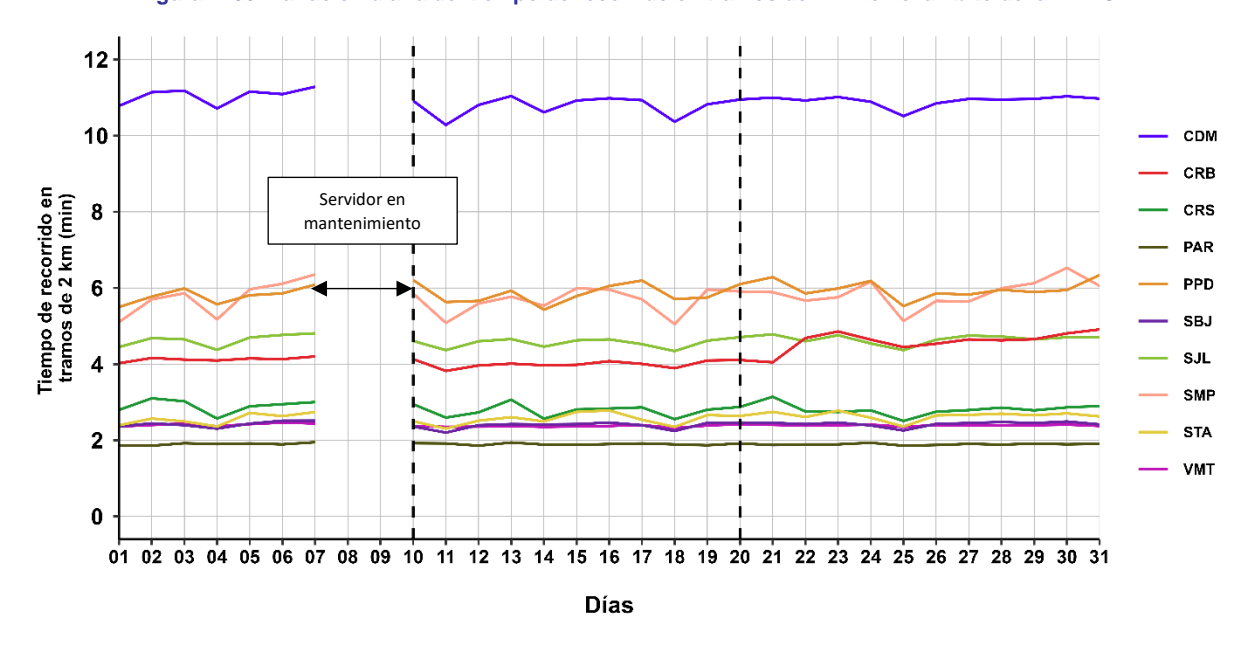


Figura N°06. Variación diaria del tiempo de recorrido en tramos de 2 km en el ámbito de la REMCA



¹⁰ Estudio: Diagnóstico de la Gestión de la Calidad Ambiental del Aire de Lima y Callao (Pág. 56). Obtenido de:

https://sinia.minam.gob.pe/documentos/diagnostico-gestion-calidad-ambiental-aire-lima-callao 11 Ranking 2023 "TOMTOM TRAFFIC INDEX". Obtenido de: https://www.tomtom.com/traffic-index/ranking/

¹² La congestión aumenta significativamente las emisiones en muchas áreas localizadas dentro del dominio de estudio, lo que revela un claro potencial para reducciones significativas de emisiones al dirigir los esfuerzos de mitigación en puntos críticos clave. Obtenido de:

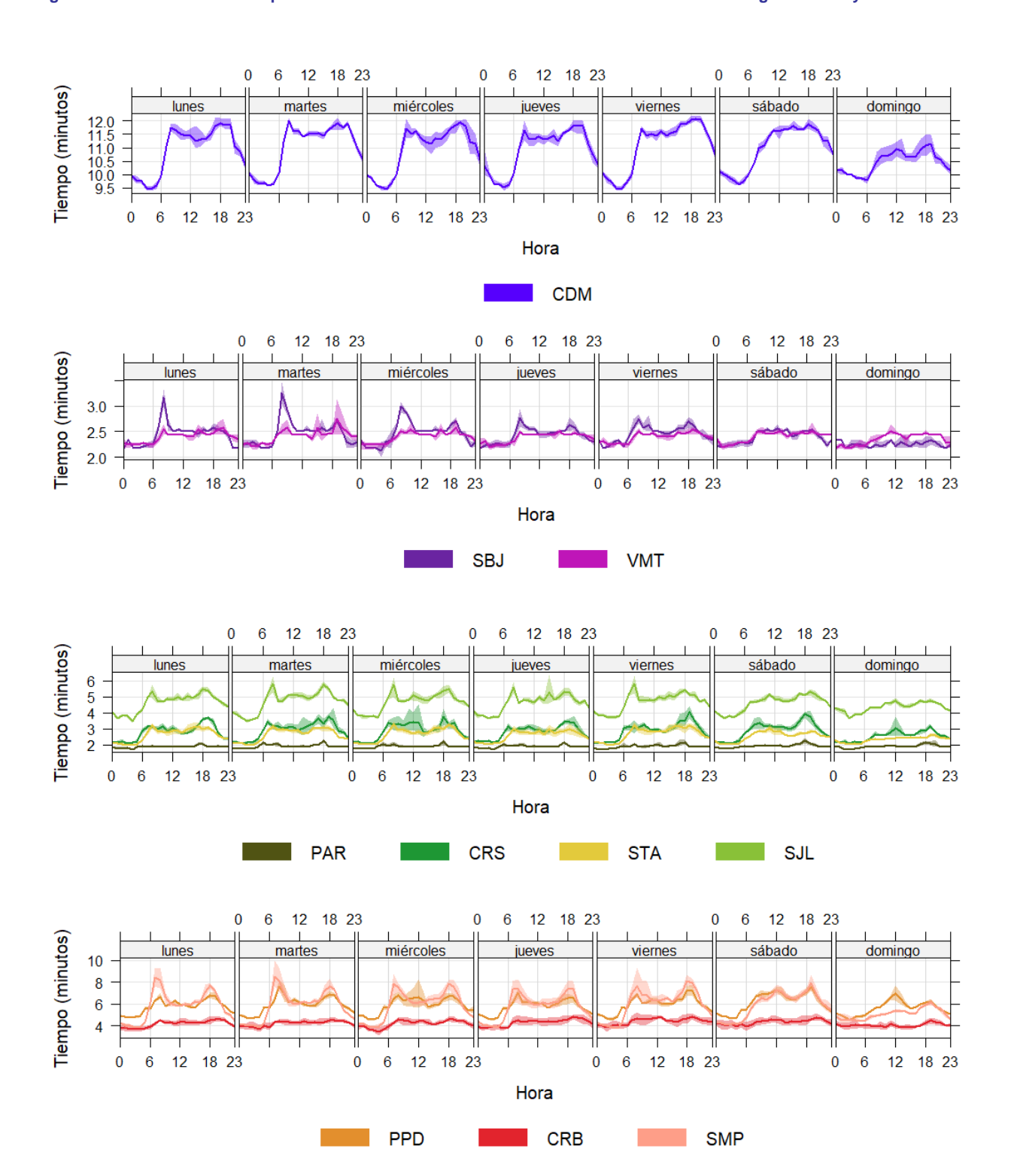
https://www.sciencedirect.com/science/article/abs/pii/S0269749117304001?/via%3Unup

13 Sjodin et al. (1998) mostraron aumentos de hasta 4, 3 y 2 veces en las emisiones de CO, HC y NOx, respectivamente, en condiciones de congestión con condiciones no congestionadas. Obtenido de: (velocidad promedio de 13 millas por hora, mph; 1 mph = 1,61 km por hora) en comparación con condiciones no congestionadas. Obtenido de: ttps://www.ncbi.nlm.nih.gov/pmc/articles/PMC4243514/

https://www.ncbi.nlm.nih.gov/pmc/articles/Priu-4243514/

El web scraping es la práctica de recopilar datos de la Internet de forma automatizada, mediante la escritura de programas que consultan servidores web y extraen información. Mitchell (2015). Web Scraping with Python: Collecting More Data from the Modern Web. O'Reilly.
¹⁵ Estudio: Extracción y Minería de Datos de Tráfico en Google Maps. Obtenido de:

Figura N°07. Variación del tiempo de recorrido en tramos de 2 km en el ámbito de la REMCA según horario y día de semana





4. VIGILANCIA DE LA CALIDAD DEL AIRE A TRAVÉS DE IMÁGENES SATELITALES

La Figura N° 08, muestra la distribución espacial de la densidad de la columna vertical troposférica del NO₂ (μmol/m²), obtenidas del satélite Sentinel 5P (instrumento Tropomi) a una resolución aproximada de 5 km × 3.5 km durante el mes de mayo. Es así como, la Figura N° 08a, muestra la distribución espacial promedio de NO₂ en la primera decadiaria (1 a 10 de mayo), la Figura N° 08b, en la segunda decadiaria (11 al 20 de mayo) y la Figura N° 08c en la tercera decadiaria (21 al 31 de mayo).

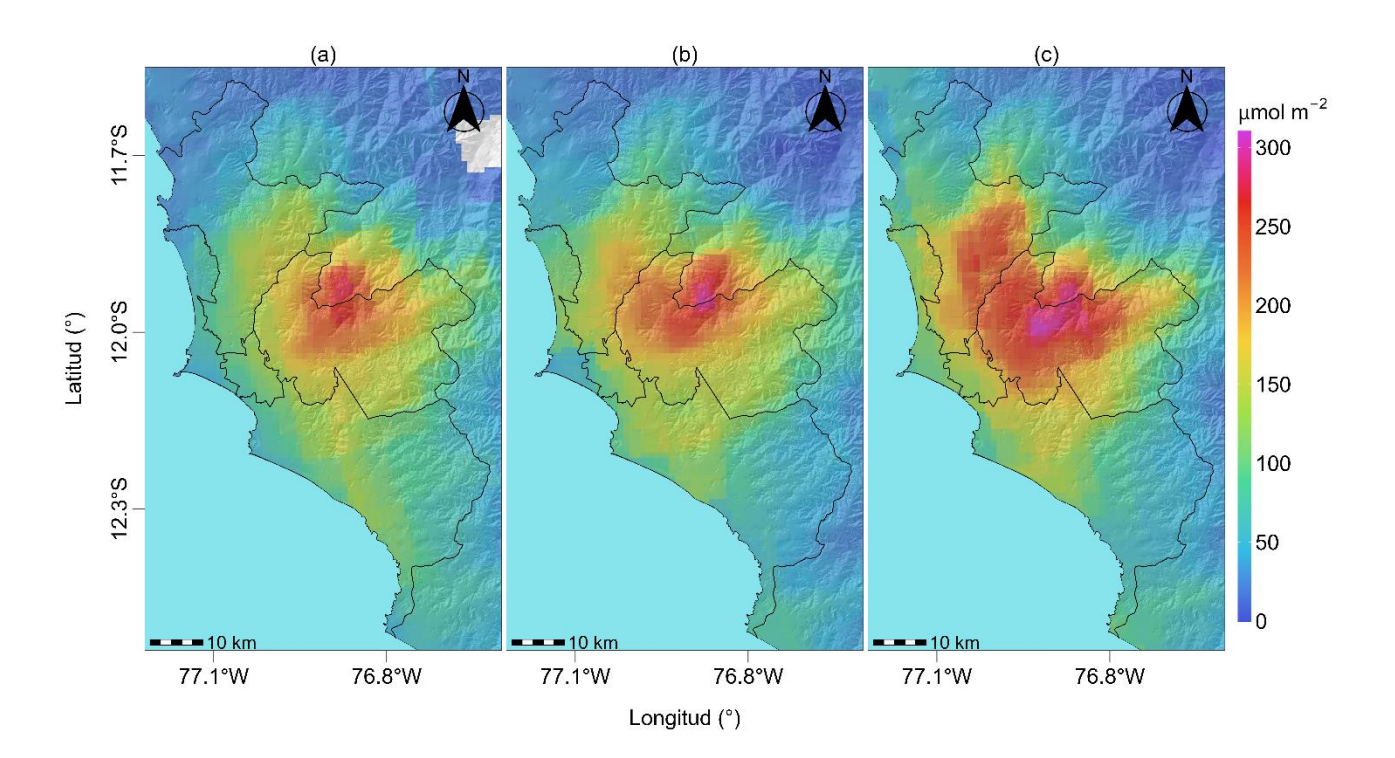


Figura N° 08. Distribución espacial de la columna del NO₂ (µmol/m²) en la tropósfera del AMLC.

Durante la primera decadiaria, la densidad máxima de NO₂ en la columna vertical troposférica alcanzó los 269.5 µmol/m² en la zona este. En la segunda decadiaria, se evidenció un incremento significativo en la zona oeste (42.7% mayor), aunque la mayor densidad continuó registrándose en la zona este, con un valor máximo de 297 µmol/m². En la tercera decadiaria, los incrementos más significativos se observaron en la zona oeste (40.6% mayor) y en la zona norte (40% mayor); no obstante, la zona este volvió a presentar la mayor densidad de NO₂ en la columna vertical troposférica, alcanzando un valor de 307.4 µmol/m².

Cabe precisar que el NO₂ se origina principalmente por la oxidación del nitrógeno atmosférico durante procesos de combustión, especialmente relacionados a la actividad vehicular.^{16,17}. Debido a la dirección de viento, el NO₂ tiende a dispersarse hacia la zona este del AMLC. Esta situación, combinada con la mayor circulación de vehículos de carga pesada o transporte de mercancía en dichas áreas, contribuye a que se registren los mayores valores de densidad de NO₂ en esta zona.

^{11/}Inside Look AQ Spanish.pdf

17 Óxidos de Nitrógeno. Obtenido de: https://www.miteco.gob.es/es/calidad-y-evaluacion-ambiental/temas/atmosfera-y-calidad-del-aire/calidad-del-aire/salud/oxidos-nitrogeno.html



¹⁶ Monitoreando el Dióxido de Nitrógeno desde el Espacio. Obtenido de: https://appliedsciences.nasa.gov/sites/default/files/2020-

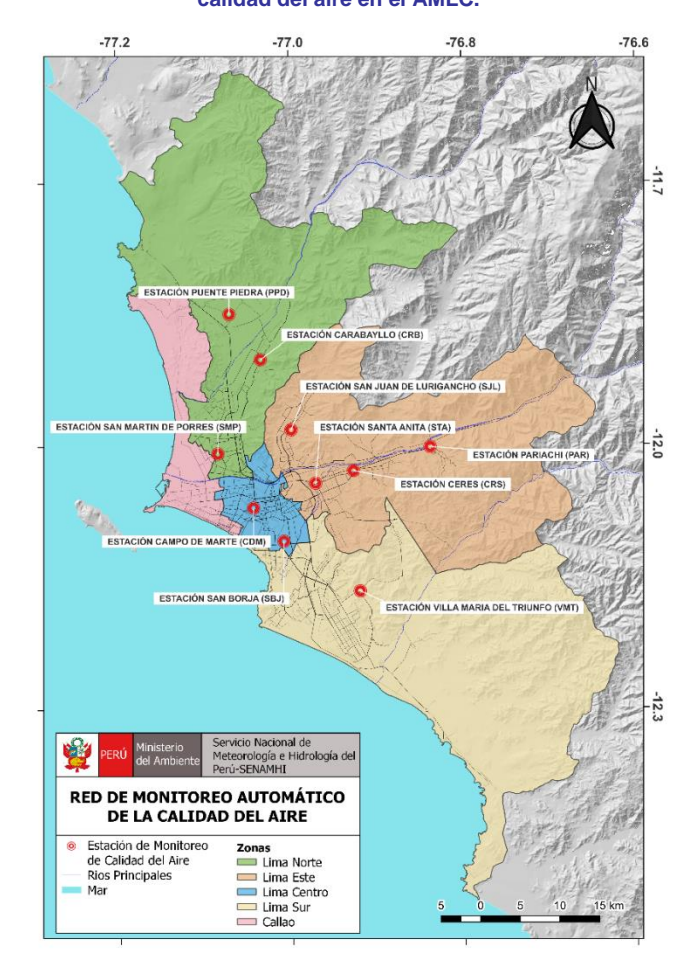
5. RED DE MONITOREO AUTOMÁTICO DE LA CALIDAD DEL AIRE EN EL AMLC

El SENAMHI realiza la vigilancia de la calidad del aire a través de 10 estaciones de monitoreo automático, las cuales miden las concentraciones horarias de los contaminantes PM₁₀ (Material Particulado con diámetro menor a 10 micras), PM_{2,5} (Material Particulado con diámetro menor a 2,5 micras), NO₂ (Dióxido de Nitrógeno), O₃ (Ozono) y CO (Monóxido de Carbono). El conjunto de estas estaciones conforma la Red de Monitoreo Automático de la Calidad del Aire (REMCA) y se encuentran en 9 distritos del AMLC tal como se indica en el Cuadro N° 01 y se observa en la Figura N° 09.

Cuadro Nº 01. Zonas, nombres y ubicación de las estaciones de monitoreo de la calidad del aire.

ZONA	NOMBRE/UBICACIÓN	
Norte	Estación Puente Piedra (PPD) Complejo Municipal "El gallo de oro" del distrito de Puente Piedra	
	Estación Carabayllo (CRB) Piscina Municipal del distrito de Carabayllo	
	Estación San Martín de Porres (SMP) Parque Ecológico del distrito de San Martín de Porres	
Este	Estación San Juan Lurigancho (SJL) Universidad César Vallejo en el distrito de San Juan de Lurigancho	
	Estación Ceres (CRS) Plaza Cívica de Ceres distrito de Ate	
	Estación Pariachi (PAR) Parque Barrantes Lingan - Pariachi 2a etapa distrito de Ate	
	Estación Santa Anita (STA) Palacio Municipal del distrito de Santa Anita	
Sur	Estación Villa María del Triunfo (VMT) Parque Virgen de Lourdes Zona Nueva Esperanza en el distrito de Villa María del Triunfo	
Centro	Estación San Borja (SBJ) Polideportivo Limatambo del distrito de San Borja	
	Estación Campo de Marte (CDM) Parque Campo de Marte en el distrito de Jesús María.	

Figura Nº09. Ubicación de las estaciones de monitoreo de la calidad del aire en el AMLC.



Estándar de Calidad Ambiental (ECA)

La Ley N° 28611 - Ley General del Ambiente define al estándar de calidad ambiental (ECA) como "la medida que establece el nivel de concentración o del grado de elementos, sustancias o parámetros físicos, químicos y biológicos presentes en el aire, agua y suelo en su condición de cuerpo receptor, que no representa riesgo significativo para la salud de las personas ni al ambiente". Por lo tanto, para los contaminantes atmosféricos, las concentraciones de cada uno de estos no deben superar su respectivo Estándar de Calidad Ambiental para Aire (ECA-aire) a fin de evitar problemas en la salud de las personas y el ambiente. Asimismo, los valores de los ECA-aire son establecidos por el Ministerio del Ambiente (MINAM) y estipulados en el D.S. N° 003-2017-MINAM.



5.1. VIGILANCIA DE LA CALIDAD DEL AIRE A TRAVÉS DE ESTACIONES DE MONITOREO EN EL AMLC

Con los datos de las estaciones de monitoreo de la calidad del aire ubicadas en el AMLC, se analizó la variabilidad diaria de las concentraciones del material particulado y gases. Los datos provinieron de las estaciones: Puente Piedra (PPD), Carabayllo (CRB), San Martin de Porres (SMP), San Juan de Lurigancho (SJL), Ceres (CRS), Pariachi (PAR), Santa Anita (STA), San Borja (SBJ), Campo de Marte (CDM) y Villa María del Triunfo (VMT).

5.1.1. MATERIAL PARTICULADO (PM_{2,5} y PM₁₀)

El material particulado hace referencia a partículas sólidas o líquidas, cuyo tamaño es más grande que una molécula, pero suficientemente pequeño para mantenerse suspendido en el aire. Pueden contener en su estructura iones inorgánicos, compuestos metálicos, carbono elemental, compuestos orgánicos y compuestos provenientes de la corteza terrestre. Usualmente se evalúan dos tipos de material particulado, las denominadas partículas finas, que incluyen a las partículas con diámetro menor a 2,5 µm y las denominadas partículas gruesas que incluyen a las partículas con diámetro menor a 10 µm¹⁸.

En el AMLC, la principal fuente de emisión de material particulado proviene del parque automotor; sin embargo, existen otras fuentes de emisión, como las puntuales (industria del cemento, harina de pescado o la refinación de cobre y zinc) o las de área (entre las que se encuentran las pollerías)¹⁰. Asimismo, las concentraciones de material particulado pueden variar en función de las condiciones meteorológicas, es así como, en estudios realizados en el AMLC, se ha visto que un incremento en la humedad relativa está relacionado con un incremento de las concentraciones de PM_{2,5}, mientras que un incremento en la temperatura está relacionado con un incremento en las concentraciones de PM₁₀ ¹⁹.

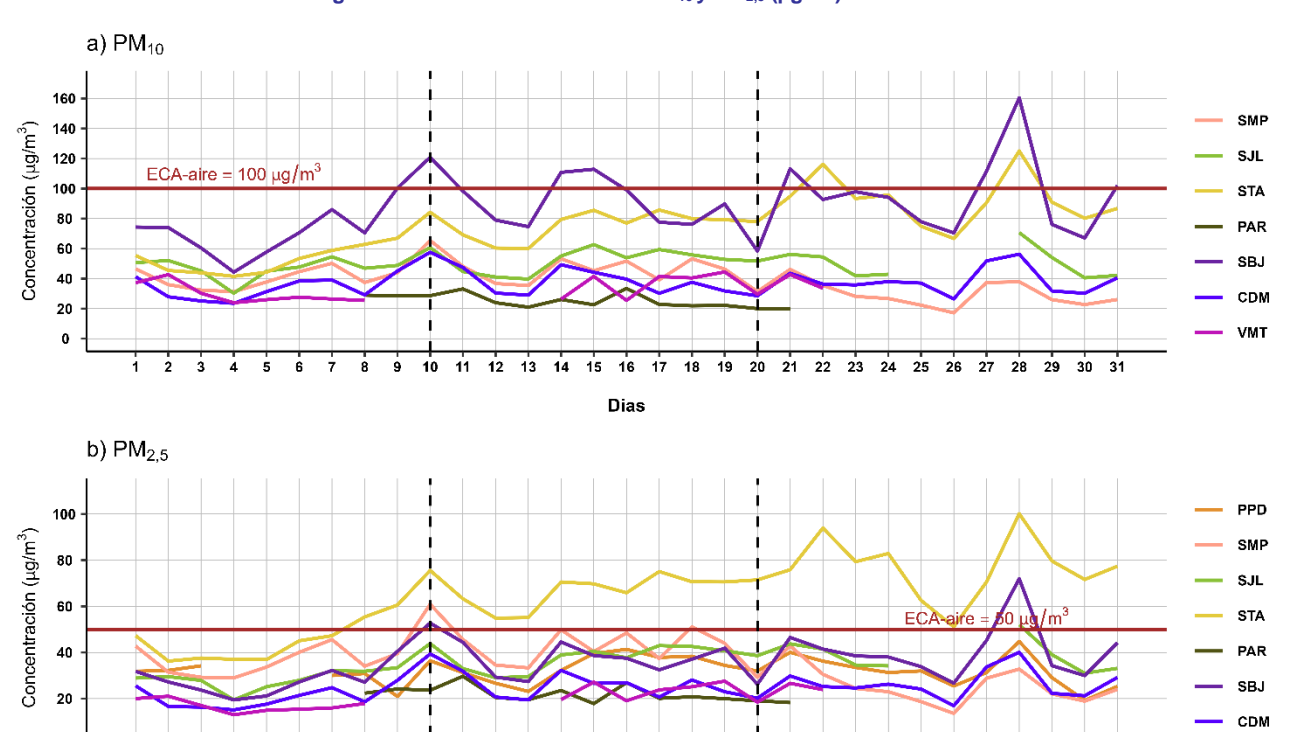


Figura N°10. Variación diaria del PM₁₀ y PM_{2,5} (μg/m³) en el AMLC.

15 16 17

Dias

19 20 21 22 23 24 25 26 27

12 13 14



0

12

VMT

¹⁸ Determinación de componentes de aerosoles atmosféricos en una zona urbana para evaluar la calidad del aire e identificar las fuentes de contaminación. Obtenido de: https://link.springer.com/article/10.1007/s10967-023-08805-8

¹⁹ Niveles de material particulado en una megaciudad sudamericana: el área metropolitana de Lima-Callao, Perú. Obtenido de: https://pubmed.ncbi.nlm.nih.gov/29134287/

En la Figura Nº 10a, se observa que, durante el periodo de monitoreo se registró concentraciones de PM₁₀ superiores al ECA-aire de 100 μg/m³ (como promedio diario) en las estaciones SBJ y STA. El valor máximo de 160.4 μg/m³ se alcanzó en la estación SBJ, en la zona centro, el sábado 28 de mayo, con los valores más altos alrededor de las 12:00 horas, lo que estaría asociado a la resuspensión de polvo por actividad vehicular en la zona centro durante días particulares, así como también a días en los que se redujo la altura de la CLA, favoreciendo la acumulación de contaminantes (Ver Figura N° 02d). La concentración más alta en la zona este, se registró también el 28 de mayo en la estación STA, alcanzando 125 μg/m³. En cuanto a la concentración más alta registrada para la zona norte, esta se dio el 10 de mayo en la estación SMP, alcanzando 65.4 μg/m³. Finalmente, en la zona sur, la concentración más alta se registró el 19 de mayo en la estación VMT, alcanzando 44.4 μg/m³. A nivel decadiario, se destaca el incremento de las concentraciones en la estación STA hacia finales de la primera decadiaria, relacionado a una reducción en la altura de la CLA; posteriormente a inicios de la tercera decadiaria nuevamente se aprecia un incremento en las concentraciones, asociado a un incremento en la velocidad del viento (ver Figura N° 02c y 02d). ^{19, 20, 21}

En la Figura N° 10b, se observa que, durante el periodo de monitoreo, se registraron concentraciones de PM_{2,5} superiores al ECA-aire de 50 μg/m³ (como promedio diario) en las estaciones STA, SJL, SMP y SBJ. El valor máximo de 100.1 μg/m³ se alcanzó el miércoles 28 de mayo en la zona este, estación STA, asociado a la actividad vehicular en la zona este durante días particulares, así como una reducción en la altura de la CLA y la presencia de neblina asociada al ingreso de vientos del sur y condiciones frías del mar²², las cuales favorecieron la acumulación del PM_{2,5}. En la zona centro, el valor más alto fue de 72 μg/m³ registrado el 28 de mayo en la estación SBJ. En la zona norte, la concentración más alta fue de 60.9 μg/m³ el 10 de mayo en la estación SMP. Finalmente, para la zona sur, la concentración más alta fue de 27.6 μg/m³, alcanzada el 19 de mayo en la estación VMT. A nivel decadiario, se destaca un incremento en las concentraciones de PM_{2,5} en la estación STA hacia la segunda decadiaria, un 39.3% mayor que la primera, asociado a días con presencia de neblina²³; asimismo, se destaca también una reducción del 38.6% en las concentraciones registradas en la estación SMP entre la segunda y tercera decadiaria, asociado principalmente a una reducción en la humedad relativa, así como a días en los que se incrementó notablemente la altura de la CLA, lo cual favoreció la dispersión de contaminantes. (ver Figura N° 02a y 02d) ^{19,20,21}

5.1.2. GASES (CO, O₃ y NO₂)

El CO es un gas incoloro, insípido e inodoro, inflamable y peligroso para la salud humana. Las principales fuentes antropogénicas de CO son los procesos de combustión relacionados con la energía, la calefacción, el transporte de vehículos, la quema de biomasa, la oxidación del metano y los compuestos orgánicos volátiles (COV), mientras que las fuentes naturales son la actividad volcánica, las descargas eléctricas y las emisiones de gases naturales. Las condiciones de alta velocidad de viento favorecen la turbulencia e incrementan la dispersión y el transporte de CO, con lo cual se reducen las concentraciones de este contaminante; por otro lado, las bajas temperaturas no favorecen los movimientos verticales térmicamente inducidos, manteniendo los contaminantes atmosféricos en los niveles más bajos, sumado a ello, los motores funcionan con menor eficiencia cuando el aire está frío, lo cual da lugar a la formación de productos de combustión incompleta entre los que se encuentra el CO²⁴.

El O₃ desempeña un papel crucial en la química atmosférica y a nivel superficial se considera uno de los principales contaminantes antropogénicos. Este gas secundario se forma a través de la oxidación fotoquímica de COV en presencia de óxidos de nitrógeno (NO + NO₂), conocidos como precursores. Por lo

²⁴ Variaciones de las concentraciones de monóxido de carbono en la megaciudad de São Paulo de 2000 a 2015 en diferentes escalas de tiempo. Obtenido de: https://www.mdpi.com/2073-4433/8/5/81



²⁰ Análisis de la relación entre el comportamiento estacional de los contaminantes sólidos sedimentables con las condiciones meteorológicas predominantes en la zona metropolitana de Lima-Callao durante el año 2004. Obtenido de: https://repositorio.senamhi.gob.pe/handle/20.500.12542/995
²¹ Factores meteorológicos que influyen en la dispersión de la contaminación del aire en la ciudad de Lima. Obtenido de: Boletín de la sociedad Geográfica de Lima, Vol. Nº 113:2000

²² Aviso N°171, Incremento de viento en la costa. Obtenido de: https://www.senamhi.gob.pe/?p=aviso-meteorologico-detalle&a=2025&b=22361&c=00&d=SENA

²³ Aviso N°163, Incremento de viento en la costa. Obtenido de: https://www.senamhi.gob.pe/?p=aviso-meteorologico-detalle&a=2025&b=22242&c=00&d=SENA

tanto, suele existir una relación inversa entre las concentraciones de NO_2 y O_3^{25} , siendo que, el pico del ciclo del O_3 aparece aproximadamente 6 horas después del pico del NO_3 5 horas después del NO_2^{26} . Por otro lado, se observa una estrecha relación entre los niveles elevados de O_3 y la temperatura. Esto se debe a que uno de los factores más significativos que favorecen la formación de ozono fotoquímico es la intensidad de la luz solar, la cual está asociada con valores relativamente altos de temperatura²⁷.

El NO₂ está considerado dentro del grupo de gases altamente reactivos conocidos como óxidos de nitrógeno (NO_x), siendo usado como un indicador de la presencia de este grupo más amplio²⁸. El NO₂ se origina durante los procesos de combustión en los vehículos, por lo cual los valores máximos se pueden relacionar con las horas de máxima congestión vehícular. Asimismo, la temperatura y la radiación solar suelen mantener una relación inversa con las concentraciones de NO₂, debido a que fomentan las reacciones que dan origen al O₃, favoreciendo con ello el consumo de NO₂ como su precursor²⁷.

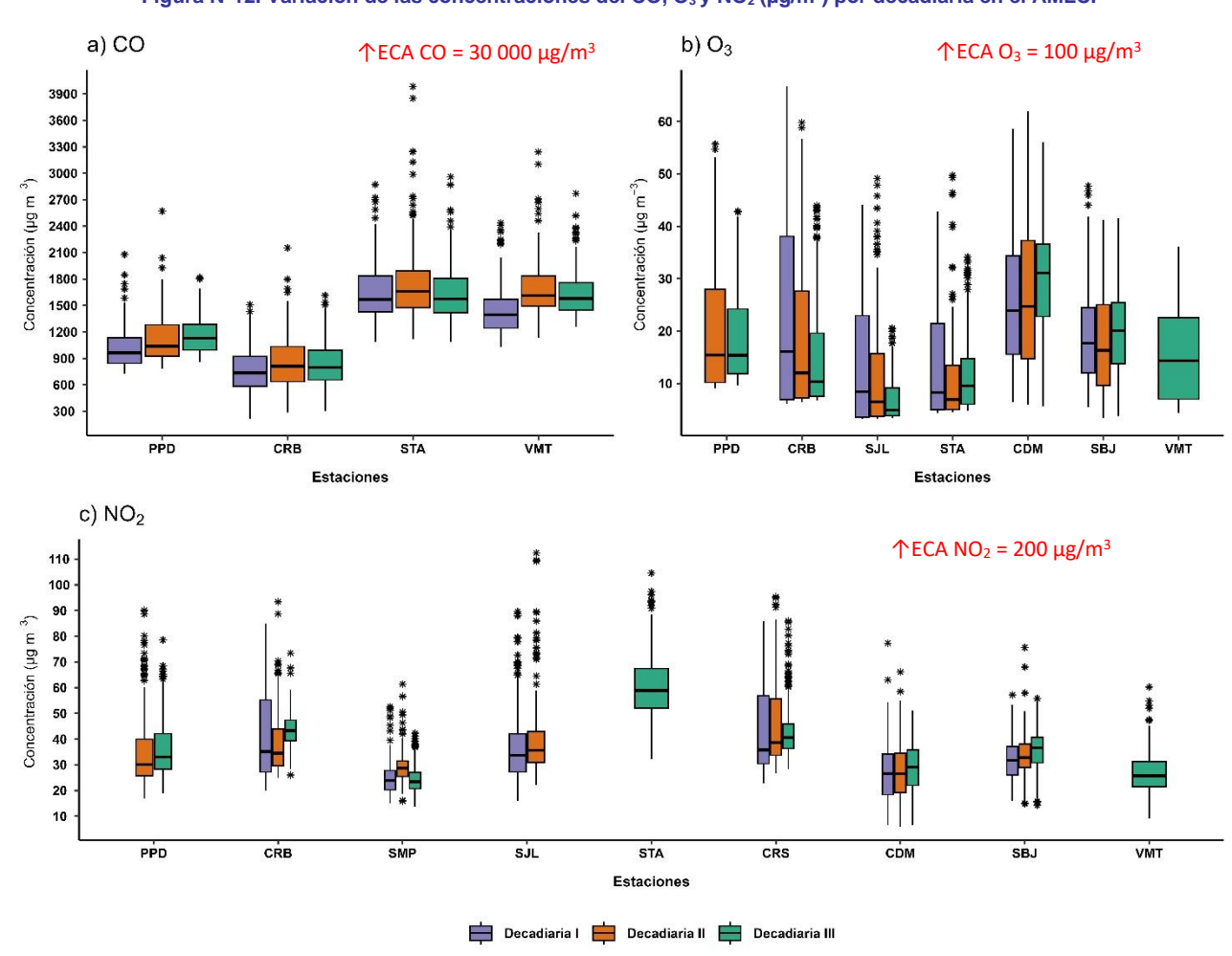


Figura N°12. Variación de las concentraciones del CO, O₃ y NO₂ (µg/m³) por decadiaria en el AMLC.

²⁸ United States Environmental Protection Agency. (25 de julio del 2023). Basic Information about NO₂. https://www.epa.gov/no2-pollution/basic-information-about-no2#What%20is%20NO2



https://repositorio.senamhi.gob.pe/handle/20.500.12542/237
²⁶ Análisis de la Relación entre O₃, NO y NO₂ en Tianjin, China. Obtenido de: https://aagr.org/articles/aagr-10-07-oa-0055

²⁷ Análisis temporal de los contaminantes atmosféricos (NO₂, O₃ troposférico y CO) y su relación con la temperatura del aire y la radiación solar en Lima Metropolitana. Obtenido de: http://www.scielo.org.pe/scielo.php?script=sci arttext&pid=S1726-22162023000100017

En la Figura Nº 12a, se observa que las concentraciones horarias de CO registradas en las estaciones se mantuvieron por debajo del ECA-aire de 30 000 μg/m³ (como promedio horario) durante todo el periodo de monitoreo. Asimismo, el valor más alto se registró durante la primera decadiaria en la zona este, estación STA, con una máxima de 3984 μg/m³ (jueves 15 de mayo a las 07:00 horas), asociado a una reducción en la altura de la CLA y en la velocidad del viento para esta hora, lo cual estaría favoreciendo la acumulación del contaminante. Respecto al comportamiento decadiario, se destaca un incremento del 16% de la primera a la segunda decadiaria, en las concentraciones registradas por la estación VMT, asociado a una reducción en la temperatura y en la velocidad del viento, lo cual habría favorecido la acumulación del contaminante. (ver Figura N° 02b y 02c).

En relación con el O₃, la Figura Nº 12b muestra que las concentraciones promedio móvil de 8 horas no superaron el valor del ECA-aire de 100 μg/m³ (como máxima media de 8 horas) durante los días monitoreados. Asimismo, se puede apreciar que el valor más alto se registró en la estación CRB el viernes 2 de mayo, día en el que se alcanzó la temperatura más alta del mes, así como también se produjo una reducción en la altura de la CLP para este día, alcanzando un valor máximo de 66.7 μg/m³, cabe mencionar que las mayores concentraciones se registraron en horarios posteriores al periodo de máxima radiación solar²9 (entre las 15:00 horas y 19:00 horas). En cuanto al comportamiento decadiario, se destaca una reducción del 36.9% en las concentraciones registradas por la estación SJL, de la segunda a la tercera decadiaria, lo cual estuvo mayormente asociado a una reducción en los valores de temperatura, limitando la formación y acumulación de O₃.²^{7 30} (Ver Figura N° 02b y 02d).

En la Figura N° 12c, se observa que las concentraciones horarias de NO₂ registradas en las estaciones no superaron el valor de su ECA-aire de 200 μg/m³ (como promedio horario) durante todo el período de monitoreo. La mayor concentración se reportó en la zona este, en la estación SJL (el jueves 15 de mayo a las 10:00 horas), alcanzando 112.4 μg/m³, lo cual estaría asociado a la actividad vehicular en la zona este (89% de las emisiones de NO_x provienen de vehículos a diésel)¹0, así como también a la disminución de la altura de la CLA, condiciones que favorecieron la acumulación de contaminantes durante este día (Ver Figura N° 02d). En el análisis decadiario, se destaca un incremento del 16% en las concentraciones registradas por la estación SMP entre la primera y la segunda decadiaria, lo cual estaría relacionado con una disminución en la altura de la CLA durante los días en que se registraron las mayores concentraciones; posteriormente, en la tercera decadiaria, se evidencia una reducción en las concentraciones, atribuida a un aumento en la altura de la CLA, lo que habría favorecido la dispersión del contaminante (ver Figura N° 02d).

6. ÍNDICE DE LA CALIDAD DEL AIRE PARA EL AMLC

El índice de calidad del aire (ICA), está basado en valores establecidos por la Agencia de Protección Ambiental de Estados Unidos (US-EPA por sus siglas en inglés). Los ICAs son valores que permiten informar el estado de la calidad del aire, permitiendo a la población conocer que tan limpio o saludable está el aire y los efectos que podría causar en la salud³¹ ³².

³¹ Air Quality Index. A guide to Air Quality and Your Health. Obtenido de: https://www.airnow.gov/sites/default/files/2018-04/aqi_brochure_02_14_0.pdf
32 Final Updates to the Air Quality Index (AQI) for Particulate Matter. Obtenido de: https://www.epa.gov/system/files/documents/2024-02/pm-naaqs-airquality-index-fact-sheet.pdf



²⁹ Ozono y compuestos orgánicos volátiles en el área metropolitana de Lima-Callao, Perú. Obtenido de:

https://repositorio.senamhi.gob.pe/handle/20.500.12542/237

30 Liu, T., Sun, J., Liu, B., Li, M., Deng, Y., Jing, W., & Yang, J. (2022). Factors influencing O3 concentration in traffic and urban environments: A case study of Guangzhou city. International Journal of Environmental Research and Public Health, 19(19), 12961.

6.1. ÍNDICE DE LA CALIDAD DEL AIRE PARA EL PM₁₀

La Figura N° 13 muestra las concentraciones promedio de 24 horas para el PM₁₀ asociadas a su respectivo estado de la calidad del aire. Se observó que, en la zona centro, la estación SBJ presentó 1 día con calidad del aire "Insalubre para grupos sensibles", 29 días con calidad del aire "Moderada" y 1 día con calidad del aire "Buena"; mientras que, la estación CDM presentó 2 días con calidad del aire "Moderada" y 29 días con calidad del aire "Buena". En la zona este, las estaciones STA y SJL presentaron 26 y 7 días con calidad del aire "Moderada", así como, 5 y 22 días con calidad del aire "Buena"; asimismo, la estación PAR presentó 14 días con calidad del aire "Buena". En la zona norte, la estación SMP presentó 1 día con calidad del aire "Moderada" y 30 días con calidad del aire "Buena". Finalmente, en la zona sur, la estación VMT presentó 17 días con calidad del aire "Buena".



Figura N° 13. Índice de la Calidad del Aire para PM₁₀

Concentración PM ₁₀ (μg/m³)		Estado	Índice de Calidad del Aire - EPA	
0	54	Buena	0	50
55	154	Moderada	51	100
155	254	Insalubre para grupos sensibles	101	150
255	354	Insalubre	151	200



6.2. ÍNDICE DE LA CALIDAD DEL AIRE PARA EL PM_{2,5}

La Figura N° 14 muestra las concentraciones promedio de 24 horas para el PM_{2,5} asociadas a su respectivo estado de la calidad del aire. Se observó que, en la zona este, la estación STA presentó 21 días con calidad del aire "Insalubre para grupos sensibles"; la estación SJL presentó 12 días con calidad del aire "Insalubre para grupos sensibles" y 17 días con calidad del aire "Moderada"; asimismo, la estación PAR presentó 14 días con calidad del aire "Moderada". Por otro lado, en la zona centro, la estación SBJ presentó 1 día con calidad del aire "Insalubre", 14 días con calidad del aire "Insalubre para grupos sensibles" y 16 días con calidad del aire "Moderada"; mientras que, la estación CDM presentó 2 días con calidad del aire "Insalubre para grupos sensibles" y 29 días con calidad del aire "Moderada". En la zona norte, la estación SMP presentó 1 día con calidad del aire "Insalubre", 12 días con calidad del aire "Insalubre para grupos sensibles" y 18 días con calidad del aire "Moderada"; mientras que la estación PPD presentó 8 días con calidad del aire "Insalubre para grupos sensibles" y 20 días con calidad del aire "Moderada". Finalmente, en la zona sur, la estación VMT presentó 17 días con calidad del aire "Moderada".

Figura N° 14. Índice de la Calidad del Aire para PM_{2,5} PPD SMP 34.2 31.8 32.2 42.8 31.4 29.2 30.9 20.9 36.4 45.6 34.1 39.5 30 29 33.7 40.1 60.9 39.5 41.4 37.9 33.3 49.8 40.4 48.5 31.3 26.6 23.1 32.3 45.7 34.5 37.4 38.3 34.4 32 40 36.2 33.5 31.3 51.1 44 29.3 42.8 30.5 24.4 23 32 25.5 31.3 29.1² 19.2 25.3 28.8 32.8 22 18.9 44.8 18.7 13.6 24 SJL PAR 28.9 29.5 27.9 25.2 27.9 32 31.9 33.4 22.3 24.2 23.6 19.5 43.9 33 29 29.6 38.9 40.5 37.7 43 29.7 20.5 19.5 23.5 17.8 26.9 20.1 34.5 42.6 40.7 38.6 43.7 41.5 34.2 20 19 20.8 18.3 23.2 52.1²⁸ 39 25 31 33.1 STA SBJ 47.3 31.8 27.2 36.3 37.6 23.7 37 36.9 45.1 47.2 55.4 19.4 21.2 27.2 32.2 27.1 40.5 52.7 60.6 75.5 27.4 54.9 55.1 70.6 29.3 44.5 38.6 37.5 32.5 69.7 65.9 75.1 44.4 71.5 26.2 41.5 70.6 70.6 75.9 93.9 79.3 82.9 37.1 41.9 46.5 38.5 38 77.4 62.6 51.1 70.6 100.1 79.6 71.6 33.9 26.7 45.2 72 34.3 30 44.2 CDM VMT

25.5

18.6

26.6

25.2²

22.3

Jue

24.8

32.2

29.8

40.1

Mie

19.4

20.2

33.7

Mar

16.6

27.9

26.9

24.6

21.2

Vie

16.3

39.3

20.7

26.3

29.2

Sab

Concentración PM _{2,5} (μg/m³)		Estado	Índice de Calidad del Aire - EPA	
0	9	Buena	0	50
9.1	35.4	Moderada	51	100
35.5	55.4	Insalubre para grupos sensibles	101	150
55.5	125.4	Insalubre	151	200

13

25.1

Dom

14.9

27.6

Lun

15.4

18.5

Mar



17.6

20.7

23

16.9

Lun

15.1

31.9

28.1

24.1

Dom

20

17.9

27.2

23.9

Jue

16

19.6

26.6

Mie

21

19.1

Vie

17

23.8

Sab

7. CONCLUSIONES

- Las condiciones meteorológicas influyeron en el comportamiento diario de los contaminantes atmosféricos en el AMLC durante el mes de mayo. Se ha presentado una tendencia a la disminución de temperaturas comparado con lo presentado en el mes anterior, lo cual favoreció al incremento de las concentraciones de PM_{2.5}.
- Durante el mes de mayo, los mayores tiempos de recorrido, indicativos de una mayor congestión vehicular, se registraron principalmente en la zona centro, específicamente en los alrededores de la estación CDM. Por otro lado, se observó una reducción de la congestión los días domingo y feriados, así como la presencia de dos picos en los tiempos de demora entre las 7:00 y 9:00 horas y entre las 18:00 y 20:00 horas en los alrededores de la mayoría de las estaciones.
- Entre la primera y la segunda decadiaria, la densidad de NO₂ en la columna vertical troposférica se vio incrementada sobre todo en la zona oeste; mientras que, para la tercera decadiaria, el incremento se registró principalmente para la zona oeste y zona norte. Aun así, los valores más altos se observaron en la zona este durante las tres decadiarias.
- En el periodo de análisis, se superó el ECA aire para PM₁₀ en dos estaciones de monitoreo (SBJ y STA), alcanzándose en la estación SBJ la concentración más alta, 160.4 μg/m³ (el miércoles 28 de mayo). En el caso del PM_{2,5}, se superó el ECA aire en 4 estaciones de monitoreo (STA, SJL, SMP y SBJ), alcanzándose en la estación STA un valor máximo de 100.1 μg/m³. Estas concentraciones estarían asociadas a las condiciones de actividad vehicular y meteorológicas presentes.
- Durante el período de análisis, las concentraciones diarias de CO, NO₂ y O₃ se mantuvieron dentro de los límites establecidos por sus respectivos ECA – aire en todas las estaciones. Los incrementos en las concentraciones se asociaron a días con condiciones meteorológicas favorables para la acumulación o formación de contaminantes atmosféricos.
- Con respecto al Índice de Calidad del Aire (ICA) para el contaminante PM₁₀, se observó que, la estación SBJ presentó 1 día con calidad del aire "Insalubre para grupos sensibles", adicionalmente predominó una calidad del aire "Moderada" (el 94% de los días monitoreados). Por otro lado, respecto al contaminante PM_{2,5}, se observó que la estación STA presentó una calidad del aire "Insalubre" durante el 68% de los días monitoreados y una calidad del aire "Insalubre para grupos sensibles" en el 32% restante.

8. PERSPECTIVAS DE LA CALIDAD DEL AIRE PARA EL MES DE JUNIO 2025

De acuerdo con el pronóstico climático³³ para el mes de junio del 2025, se espera que en el AMLC las temperaturas máximas se encuentren dentro de sus rangos normales, mientras que las temperaturas mínimas se presentaran inferiores a lo normal. Considerando el comportamiento estacional de estas variables meteorológicas, se esperaría que las concentraciones de PM_{2,5}, se presenten superiores a lo registrado en el mes de mayo.

³³ Documento: Boletín climático nacional - mayo 2025 SENAMHI. Obtenido de: https://www.senamhi.gob.pe/load/file/02215SENA-143.pdf



Para más información sobre el presente informe, contactar con:

Ing. Elvis Anthony Medina Dionicio (eamedina@senamhi.gob.pe)
Subdirector de Evaluación del Ambiente Atmosférico

Elaboración

Ing. Lourdes María Isabel Urteaga Tirado (<u>lurteaga@senamhi.gob.pe</u>) Ing. José Hitoshi Inoue Velarde Bach. Hanns Kevin Gómez Muñoz

Apoyo

Tec. Rosalinda Aguirre Almeyda

Para estar informado permanentemente sobre la **EVOLUCIÓN HORARIA DE LOS CONTAMINANTES PRIORITARIOS DEL AIRE** en Lima Metropolitana visita este enlace:

http://www.senamhi.gob.pe/?p=calidad-de-aire

Encuentra los últimos 6 BOLETINES MENSUALES DE LA VIGILANCIA DE LA CALIDAD DEL AIRE de Lima

Metropolitana en el siguiente enlace: http://www.senamhi.gob.pe/?p=boletines

Suscribete al **BOLETÍN MENSUAL DE LA VIGILANCIA DE LA CALIDAD DEL AIRE** de Lima Metropolitana en el siguiente enlace:

https://forms.gle/a4hpxqSc8KLj47sQ6

Próxima actualización: 15 de julio del 2025

inductria

parque automotor